

# آنالیز نمودار گشتاور زاویه مفصل مچ پا در سرعت‌ها و مراحل مختلف راه‌رفتن جهت طراحی پروتز مچ پنجه

\* Zahra Sefayi-Pour<sup>1</sup>, Ali Astekui<sup>2</sup>, Farhad Tavatibaii Qomshah<sup>3</sup>, Saeid Mohammad-Ahmed Mousavi<sup>\*</sup>

## چکیده

**هدف:** هدف این تحقیق آنالیز نمودار گشتاور زاویه مفصل مچ پا و تعیین مشخصات مفصل مچ در مراحل و سرعت‌های مختلف راه‌رفتن برای کاربرد در طراحی پروتزهای مچ و پنجه پا بود.

**روش بررسی:** مطالعه به صورت مقطعی تحلیلی بود و ۲۰ نمونه در دسترس انتخاب شدند. آنالیز راه‌رفتن در سرعت‌های مختلف و با دو صفحه نیرو و پنج دوربین انجام شد. براساس نمودار گشتاور زاویه، فاز ایستایی به سه مرحله تقسیم شد. مشخصات مفصل مچ شامل شبیه‌سفتی و کار در این مراحل محسوبه شد. مقایسه میانگین متغیرها در مراحل و سرعت‌های مختلف راه‌رفتن با آزمون آنالیز پراکنش سنجش مکرر صورت گرفت و برای برآش مدل خطی به داده‌ها، از آنالیز رگرسیون خطی استفاده شد.

**یافته‌ها:** نمودار گشتاور زاویه در سرعت‌های آهسته‌تر، در جهت عقربه‌های ساعت و با افزایش سرعت، خلاف جهت عقربه‌های ساعت بود. بهترین خط برآش شده به نمودار کار، سرعت راه‌رفتن  $R=0.81$  بود. بین شبیه‌سفتی مفصل مچ در سرعت تند و طبیعی با شبیه‌سفتی در سرعت‌های کمتر، تفاوت معناداری وجود داشت ( $P<0.001$ ).

**نتیجه‌گیری:** رفتار نمودار گشتاور زاویه در سرعت‌های آهسته‌تر نشان‌دهنده عملکرد غیرفعال و اتلافی در مفصل مچ و با افزایش سرعت، نشان‌دهنده عملکرد فعل این مفصل بود. براساس نتایج، مشخصات مفصل مچ در سرعت‌ها و مراحل مختلف راه‌رفتن تغییر می‌کند. بنابراین، در سرعت‌های پایین‌تر، یک مدل فندردپر با اتلاف تنظیم شده توانایی شبیه‌سازی عملکرد مفصل مچ را دارد؛ گرچه در سرعت‌های بیشتر، باید برای عناصر فعل، سهمی درنظر گرفت.

**کلیدواژه‌ها:** پروتز مچ و پنجه، راه‌رفتن، زاویه مچ پا، شبیه‌سفتی، گشتاور مچ پا

۱- دکترای مهندسی پزشکی بیومکانیک، دانشکده مهندسی پزشکی، دانشگاه آزاد اسلامی، واحد علوم و تحقیقات تهران،

تهران، ایران

۲- دکترای مهندسی پزشکی بیومکانیک، استاد گروه مهندسی و فیزیک پزشکی، دانشکده پزشکی، دانشگاه علوم

پزشکی شهری بهشتی، تهران، ایران

۳- دکترای مهندسی پزشکی بیومکانیک، دانشیار گروه ارگونومی، دانشگاه علوم بهزیستی و توانبخشی،

تهران، ایران

۴- متخصص ارتودپی، دانشیار گروه ارتزو و پروتز، دانشگاه علوم بهزیستی و توانبخشی، تهران، ایران

دریافت مقاله: ۹۲/۰۱/۲۴

پذیرش مقاله: ۹۲/۰۵/۲۱

\* آدرس نویسنده مسئول:

تهران، اوین، بلوار دانشجو، خیابان کوکیار، دانشگاه علوم بهزیستی و توانبخشی، گروه ارتزو و پروتز.

\* تلفن: +۹۸ (۲۱) ۲۲۱۸۰۰۱۰

\* رایانامه:

safaee\_zahra@yahoo.com



## مقدمه

آگاهی از عملکرد بیومکانیکی مفصل مچ پا در طراحی و ساخت پروتزهای مچ‌پنجه با رفتاری مشابه مچ پای طبیعی ضروری به نظر می‌رسد(۱،۲). عملکرد کلی مفصل مچ پای سالم با استفاده از ارتباط گشتاور زاویه این مفصل بررسی می‌شود که شکل حلقه‌مانندی<sup>۱</sup> دارد (شکل ۱) (۳،۴). با کاربرد این نمودار، طراحان پروتز مدل‌سازی عملکرد مفصل مچ را با استفاده از اجزای مکانیکی ساده انجام داده‌اند؛ برای مثال، برای نشان‌دادن رفتار ذخیره‌کنندگی و اتلافی مفصل مچ به ترتیب، از فنر و دمپر استفاده شده است. با استفاده از اجزای فعل مانند موتور نیز رفتار تولیدکنندگی این مفصل مدل شده است(۲).

مطالعات پیشین نشان می‌دهد از نظر کیفی، شکل کلی نمودار گشتاور زاویه تحت تأثیر سرعت راهرفتن است(۴،۲). در سرعت‌های کم، راهرفتن این نمودار در جهت عقربه‌های ساعت است که بیانگر اتلاف انرژی در این مفصل بوده و به صورت سیستم فنر و دمپر مدل شده است. در سرعت معمولی راهرفتن، نمودار گشتاور زاویه اتلافی نداشته و مفصل مچ به صورت فنر ذخیره‌کننده انرژی مدل شده است. در سرعت‌های بالاتر راهرفتن، این نمودار در جهت خلاف عقربه‌های ساعت و بیانگر تولید انرژی است. بنابراین، برای مدل کردن مچ از موتور استفاده شده است(۲).

طراحی بهینه پروتز مچ‌پنجه، نیازمند مطالعه جزئی‌تر عملکرد مفصل مچ است. از مهم‌ترین ویژگی<sup>۲</sup> مفصل مچ می‌توان به شبیه‌سفنتی<sup>۳</sup> و کار<sup>۴</sup> اشاره کرد که استنتاج پذیر از نمودار گشتاور زاویه است و در طراحی پروتز اهمیت دارد (شکل ۱) (۵،۶،۳). شبیه‌سفنتی یا شبیط برآورش شده به منحنی گشتاور زاویه مفصل مچ، بیانگر مقاومت کلی مفصل در برابر حرکت است. کار که با مساحت محصور شده در نمودار گشتاور زاویه برابر است، بیانگر میزان انرژی جذب یا تولید شده از طریق این مفصل است(۳-۹). مطالعات نشان می‌دهد این ویژگی‌ها در مرحله راهرفتن و همچنین، در سرعت‌های راهرفتن متفاوت هستند(۱۰).

در حالی که روند رو به رشدی در زمینه طراحی پروتزهای مچ‌پنجه پا براساس بیومکانیک مفصل مچ دیده می‌شود، تحقیقات حاضر بیشتر بر رفتار کیفی مفصل مچ، مانند شکل کلی نمودار گشتاور زاویه تمرکز کرده‌اند. در زمینه تحلیل کمی نمودار گشتاور زاویه و تعیین مشخصات مفصل مچ در مراحل و سرعت‌های مختلف راهرفتن، اطلاعات دقیقی در دسترس نیست. البته در مقالات مربوط، لزوم انجام چنین تحقیقاتی پیشنهاد شده است(۱۱،۱۰). این تحقیق با هدف آنالیز نمودار گشتاور زاویه مفصل مچ و

## روش بررسی

این مطالعه از نوع مقطعی تحلیلی و با روش نمونه‌گیری در دسترس انجام شد. بیست فرد داوطلب، یعنی ۱۴ مرد و ۶ زن، با آگاهی و رضایت از مراحل آزمون و بدون داشتن سابقه ناهنجاری در مچ و پا، براساس معاینات در این مطالعه شرکت کردند. آزمون راهرفتن در آزمایشگاه Kistler Instrument بجهت مجهز به دو صفحه نیرو<sup>۵</sup> AG&Switzerland Vicon Motion System Ltd., UK<sup>۶</sup> Vicon انجام شد. در ابتدا، مارکرها روی نقاط نشانه آناتومیکی<sup>۷</sup> براساس روش پیشنهادی مدل وایکون<sup>۷</sup> در نواحی مچ پا (قوزک خارجی)، انگشتان (پشت پا ناحیه بین متatars اول و دوم)، پاشنه (خلف کاکانوس)، تیبیا (نیمة تحتانی)، زانو (کوندیل خارجی فمور)، ران (نیمة تحتانی) و خار خاصره قدمی فوکانی نصب شدند(۱۲). برای محاسبه سرعت راهرفتن، مارکری روی ساکروم وسط دو خار خاصره خلفی قرار گرفت. به منظور آشنازی آزمون‌شونده با نحوه آزمون، از افراد خواسته می‌شد پابرهنه و طی چند مرحله، در مسیری پنج متری با چهار سرعت از سرعت تند تا خیلی آهسته راه بروند. سپس، سه بار تکرار آزمون راهرفتن با سرعت‌های ذکر شده برای هر پا با فرکانس ۱۰۰ هرتز ثبت شد.

نیروی عکس‌العمل زمین و موقعیت مارکرها با استفاده از مدل دینامیک وایکون Plug-In-Gait Workstation<sup>۸</sup> پردازش و متغیرهای کیتیکی و کینماتیکی مفصل مچ شامل زاویه (درجه) و گشتاور (نیوتون متر) و توان (وات) محاسبه شد. گشتاور و توان مفصل مچ نسبت به جرم بدن<sup>۹</sup> نرمال و براساس نیوتون متر بر کیلوگرم و وات بر کیلوگرم بیان شده است. سرعت راهرفتن (متر بر ثانیه) از مشتق جابه‌جایی کلی مارکر ساکروم نسبت زمان در فاصله معین در نظر گرفته شد. همچنین، سرعت زاویه‌ای مفصل مچ (رادیان بر ثانیه) نیز از مشتق تغییرات زاویه مفصل مچ پا در مدت زمان فاز ایستایی<sup>۱۰</sup> محاسبه شد. فیلتر پایین گذر مرتبه شش با ترورث<sup>۱۱</sup>، با استفاده از نرم‌افزار MATLAB، داده‌های کیتیکی و کینماتیکی را با فرکانس قطع ۱۰ هرتز فیلتر کردند(۱۳). هم‌طول کردن بردارهای حاصل، با روش درون‌یابی خطی<sup>۱۲</sup> انجام شد(۵). برای تجزیه و تحلیل نهایی، میانگین داده‌های پای راست

1- Loop shaped  
7- Plug-In-Gait

2- Characteristics  
8- Body mass

3- Quasi-stiffness  
9- Stance phase

4- Work  
10- Butterworth

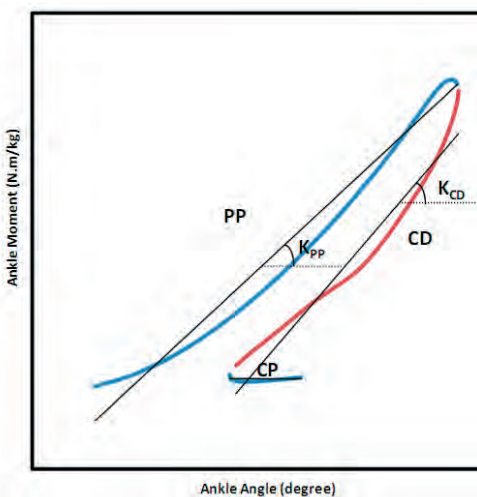
5- Force plate  
11- Linear interpolation

6- Anatomical landmark



و پلتارفلکشن فعال<sup>۳</sup> (PP) تقسیم‌بندی شدند. مرحله CP از لحظه برخورد پاشنه به زمین آغاز و تا حداکثر پلتارفلکشن در ابتدای فاز ایستایی ادامه داشت. مرحله CD به گونه‌ای تعریف شد که از انتهای CP شروع و تا حداکثر دورسی‌فلکشن در میان ایستایی<sup>۴</sup> ادامه داشت. مرحله PP از پایان CD آغاز و تا بلندشدن انگشتان از زمین ادامه می‌یافت (شکل ۱) (۱۶-۱۴).

و چپ برای هر فرد محاسبه شد. یک دوره کامل راهرفتن (فاز ایستایی و نوسانی)، از لحظه برخورد پاشنه یک پا به صفحه نیروی اول تا برخورد پاشنه همان پا به صفحه نیروی دوم با استفاده از نمودار مؤلفه عمودی نیروی عکس العمل زمین تعیین شد. در مرحله بعد، نمودارهای گشتاور زاویه در فاز ایستایی به سه مرحله پلتارفلکشن کنترل شده<sup>۱</sup> (CP) و دورسی‌فلکشن کنترل شده<sup>۲</sup> (CD) (CD) پلاستیکی



شکل ۱. تقسیم‌بندی نمودار گشتاور زاویه مفصل مج به مراحل مختلف و تعیین شیب نمودار.

مج بر حسب سرعت راهرفتن از آنالیز رگرسیون خطی (روش کمترین مجددات)<sup>۵</sup> استفاده شد. برآش مدل‌های خطی نیز با ضریب  $R^2$  بررسی شد. آزمون آنالیز واریانس سنجش مکرر<sup>۶</sup> برای مقایسه میانگین متغیرها در مراحل و سرعت‌های مختلف راهرفتن استفاده شد. برای تعیین زوج میانگین‌های عامل که تفاوت بین آن‌ها معنادار شده بود، از آزمون بونفرونی<sup>۷</sup> استفاده شد. در تمامی آزمون‌ها، سطح معناداری  $0.05$  بود.

شیب‌سفتی مفصل مج (K) بر حسب (N.m/kg.rad) از شیب خط رگرسیون برآش شده به نمودار گشتاور زاویه در مراحل CP, CD, PP محاسبه شد (شکل ۱) (۷). مفصل مج (W) بر حسب (N.m.rad/kg) بر حسب در هر مرحله از فاز ایستایی ( $W_{CP}$ ,  $W_{CD}$ ,  $W_{PP}$ ) با محاسبه سطح زیر منحنی گشتاور زاویه کار انجام شده را با استفاده از روش انگرال‌گیری ذوزنقه<sup>۸</sup> براساس معادله ۱ محاسبه کرد. کار کلی انجام شده ( $W_{total}$ ) مفصل مج از تفریق سطح زیر منحنی PP از سطح زیر منحنی CD محاسبه شد (معادله ۲) (۷).

$$\text{معادله ۱} \quad \text{Work} = \sum_{j=1,2,\dots,n}^{j=n} 1/2(M_j + M_{j-1})\Delta\theta$$

$$\text{معادله ۲} \quad W_{total} = |W_{PP}| - |W_{CD}|$$

در این رابطه، M گشتاور و  $\theta$  زاویه مفصل مج است. مقادیر مثبت ( $W_{total}$ ) نشان‌دهنده تولید انرژی و جهت خلاف عقربه‌های ساعت در نمودار گشتاور زاویه بود. مقادیر منفی نشان‌دهنده اتلاف انرژی بوده که در آن، جهت نمودار گشتاور زاویه در جهت عقربه‌های ساعت بود.

تجزیه و تحلیل آماری داده‌ها با استفاده از نرم‌افزار SPSS نسخه ۱۹ انجام شد. برای تعیین مدل حاکم بر کار انجام شده در مفصل

## یافته‌ها

میانگین و انحراف معیار سن و وزن و قد نمونه‌ها به ترتیب، ۲۳/۴ $\pm$ ۳/۷ سال و ۶۷/۶ $\pm$ ۱۰/۲ کیلوگرم و ۱۷۴/۲ $\pm$ ۷/۷ سانتی‌متر بود. میانگین و انحراف معیار سرعت راهرفتن بر حسب متر بر ثانیه، با  $0.95 \pm 0.09$ ،  $0.906 \pm 0.09$ ،  $1.06 \pm 0.09$  و  $1.05 \pm 0.07$  متر بر ثانیه برابر بود که به ترتیب، به عنوان سرعت خیلی آهسته، آهسته، معمولی و تند نام‌گذاری شدند. آزمون آنالیز سنجش مکرر بین میانگین سرعت‌ها تفاوت معناداری را نشان داد ( $P < 0.001$ ). با توجه به اهداف مطالعه، نتایج براساس سرعت و مرحله راهرفتن تحلیل شدند.

1- Controlled Plantarflexion  
5- Trapezoidal approximation approach

2- Controlled Dorsiflexion  
6- Least square method

3- Powered Plantarflexion  
7- Repeated measure analysis of variance

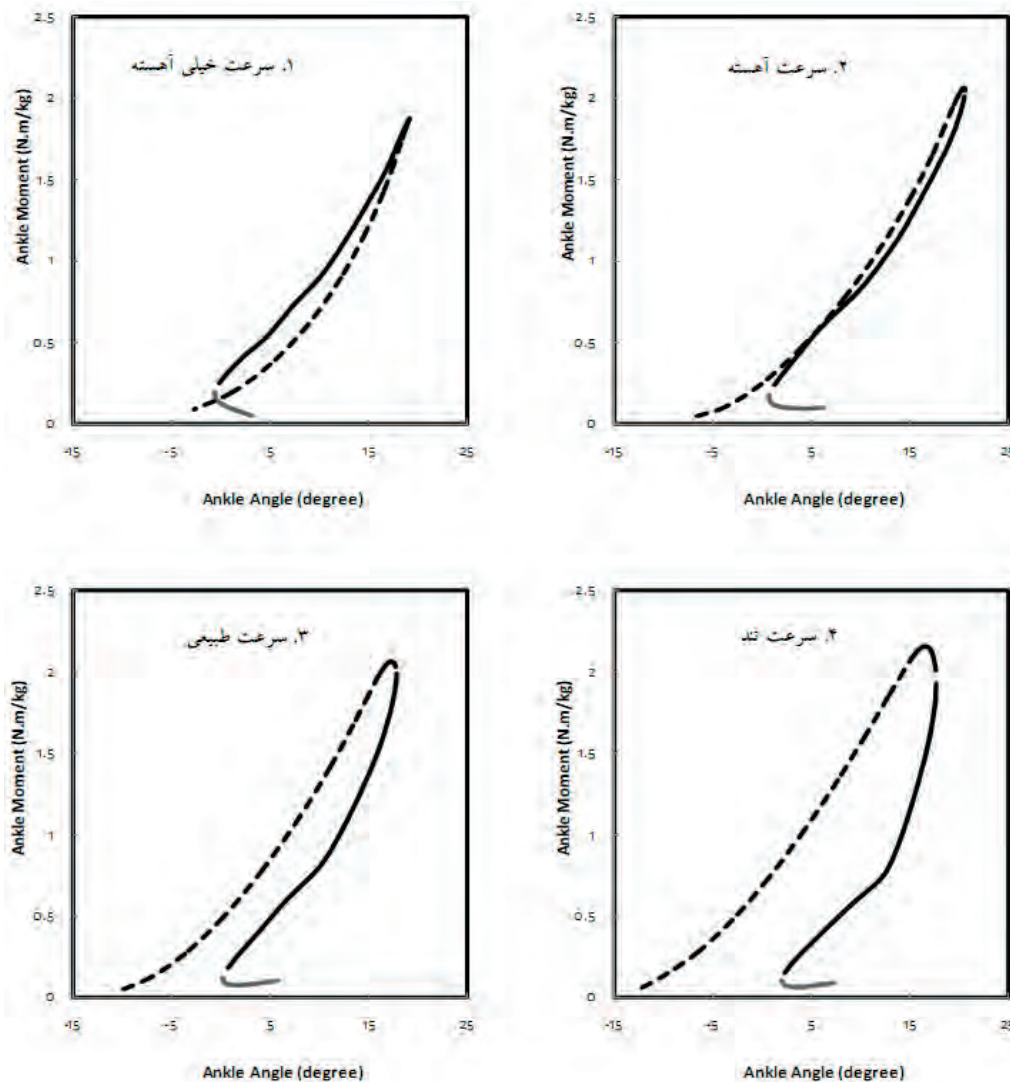
4- Mid-stance  
8- Bonferroni



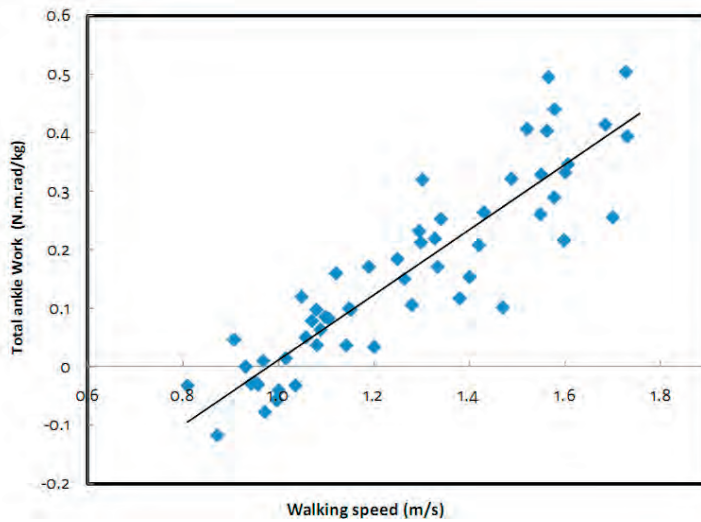
تفاوت معناداری را نشان داد ( $P < 0.001$ ). شکل ۳، نمودار کار انجام شده براساس سرعت‌های راه رفتن را نشان می‌دهد. براساس آن در سرعت‌های کم، کار منفی بود؛ درحالی که با افزایش سرعت، کار انجام شده مثبت شد. در سرعتی نزدیک به یک متر بر ثانیه، کار کلی انجام شده توسط مفصل مچ با صفر برابر بود. بهترین خط برآشش شده به این نمودار، به صورت معادله ۳ با  $R^2 = 0.81$  بود. حداقل توان مفصل مچ با افزایش سرعت افزایش می‌یافت (شکل ۴).

$$W_{\text{total}} = 0.56(\text{Walking Speed}) - 0.54 \quad \text{معادله ۳}$$

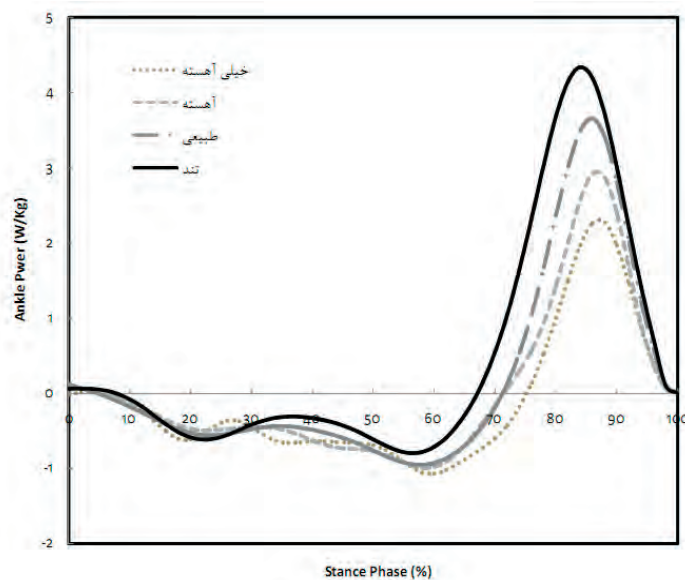
یافته‌ها براساس سرعت راه رفتن: نمودار گشتاور زاویه در سرعت‌های آهسته‌تر در جهت عقربه‌های ساعت بود؛ درحالی که با افزایش جهت نمودار، خلاف عقربه‌های ساعت بود. درمجموع، چهار شکل منحنی گشتاور زاویه در سرعت‌های مختلف راه رفتن بر حسب کار انجام شده در مفصل مچ (وات بر کیلوگرم) مشاهده شد که شامل نمودارهایی با کار منفی ( $-0.5 \pm 0.03$ )، کار صفر ( $0.00 \pm 0.03$ )، کار مثبت کوچک ( $0.15 \pm 0.05$ ) و کار مثبت بزرگ ( $0.35 \pm 0.08$ ) بودند (شکل ۲). آزمون آنالیز سنجش مکرر بین مقادیر میانگین کار کلی در چهار نمودار مذکور،



شکل ۲. نمودار میانگین گشتاور زاویه در چهار سرعت راه رفتن. فاز ایستایی به سه مرحله شامل CP (خطوط خاکستری) و CD (خطوط پرسیاه) و PP (خطوط پرسیاه) تقسیم‌بندی شده است.



شکل ۳. نمودار میانگین کار انجام شده براساس سرعت راه رفتن. خط سیاه پررنگ نشان دهنده بهترین خط برآش شده به داده هاست.



شکل ۴. نمودار میانگین توان مفصل مج براساس درصد فاز ایستایی در چهار سرعت راه رفتن.

جدول ۱. مقادیر میانگین و انحراف معیار شبیه‌سفتی (N.m/kg.rad) و کار (N.m/kg.rad) در سرعت‌های چهارگانه راه رفتن در مراحل CD و CP و PP.

مرحله	متغیر	سرعت خیلی آهسته	سرعت آهسته	سرعت معمولی	سرعت تند
K		-۰/۶۳±۰/۹۳	-۰/۴۴±۰/۰۳	-۰/۲۰±۰/۹۰	-۰/۲۳±۰/۷۶
CP	M-angle R <sub>Y</sub>	۰/۷۵	۰/۷۰	۰/۵۸	۰/۴۹
W		۰/۰۱±۰/۰۰	۰/۰۱±۰/۰۰	۰/۰۱±۰/۰۰	۰/۰۱±۰/۰۰
K		*۴/۵۷±۰/۷۷	*۴/۴۷±۰/۶۲	*۵/۴۷±۰/۷۶	*۵/۸۰±۱/۰۵
CD	M-angle R <sub>Y</sub>	۰/۹۶	۰/۹۵	۰/۹۱	۰/۸۳
W		۰/۳۳±۰/۰۷	۰/۳۵±۰/۰۹	۰/۲۵±۰/۰۵	۰/۲۰±۰/۰۵
K		۴/۷۸±۰/۶۲	۴/۴۶±۰/۷۶	۴/۵۸±۰/۷۱	۴/۵۳±۰/۸۵
PP	M-angle R <sub>Y</sub>	۰/۹۰	۰/۹۷	۰/۹۸	۰/۹۸
W		۰/۲۸±۰/۰۷	۰/۴۰±۰/۰۹	۰/۴۱±۰/۰۷	۰/۵۵±۰/۱۰

\* آزمون آنالیز پراکنش سنجش مکرر، بین مقادیر شبیه‌سفتی تفاوت معنادار آماری نشان داد و آزمون بونفرونی نشان داد این تفاوت در سرعت نرمال و تند با سرعت آهسته و خیلی آهسته معنادار است ( $P=0/00$ ).



خیلی آهسته، نمودار گشتاور زاویه در جهت عقربه‌های ساعت بود که بیانگر اتلاف در مفصل مچ است؛ در حالی که در سرعت آهسته، این اتلاف ناچیز شده و با افزایش سرعت، جهت نمودار به خلاف عقربه‌های ساعت تغییر پیدا کرد که بیانگر تولید انرژی است. این پدیده با تحلیل کار تولیدشده هم تأیید شد؛ به گونه‌ای که در سرعت‌های آهسته، کار کلی منفی بود (اتلاف) و با افزایش سرعت، کار مثبت یا تولید انرژی مشاهده شد. بنابراین، به نظر می‌رسد برای طراحی پروتز جایگزین در سرعت‌های کم راه رفت، یک سیستم مکانیکی ساده شامل فنر دمپر بتواند عملکرد کلی مفصل مچ را تقلید کند؛ در حالی که کار تولیدشده در سرعت‌های بیشتر نیاز به درگیرشدن سیستمی فعال مانند موتور را تأیید می‌کند.

با درنظر گرفتن مرحله راه رفت، نتایج نشان داد در مرحله CP، مقدار شبیه‌سفتی مچ در مقایسه با سایر مراحل کوچکتر و با تغییر زاویه مفصل مچ تغییرات گشتاور ناچیز بود. این مرحله که با برخورد پاشنه به زمین آغاز شده و تا قرار گرفتن کف پا به صورت صاف روی زمین ادامه دارد، حرکت پلتارفلکشن در مفصل مچ در کنترل عضلات دورسی فلکسور ایجاد می‌شود. این موضوع در کنترل عضلات دورسی فلکسور ایجاد می‌شود. این موضوع سبب جذب ضربه برخورد پاشنه و برخورد کنترل شده پا به زمین می‌شود (۱۴-۱۶). هم راستا با مطالب بیان شده و براساس نتایج، مقادیر  $R_2$  مدل‌های خطی برآششده به داده‌های گشتاور زاویه در مرحله CP، تغییر پذیری فراوانی را در نمونه‌ها نشان داد. در این دوره، علت تغییرات زیاد در مقادیر  $R_2$  ممکن است به دلیل تعداد داده‌ها باشد. با توجه به اینکه CP در مدت زمان کوتاهی (حدود ۵ درصد کل زمان راه رفت) اتفاق می‌افتد، تعداد داده‌های کیتیکی و کینماتیکی حاصله به ویژه در سرعت‌های بالاتر، کم است (۵ داده در فرکانس ۱۰۰ هرتز)؛ اما با توجه به اینکه در اکثر نمونه‌ها، مقادیر بسیار  $R_2$  مشاهده شد، جزء فنر با سفتی پایین در مدل مفصل در نظر گرفته شد. در این صورت، مدل مناسب حاکم بر عملکرد مفصل مچ در مرحله CP می‌تواند شامل یک فنر خطی با سفتی پایین به صورت زیر معرفی شود (معادله ۴):

$$M = K\theta \quad \text{معادله ۴}$$

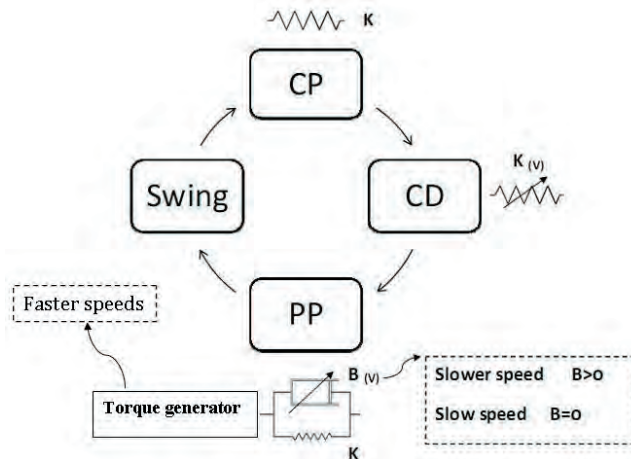
در این رابطه، M گشتاور و K شبیه‌سفتی و  $\theta$  زاویه مفصل مچ در مرحله CP است (شکل ۵).

یافته‌ها براساس مرحله راه رفت: در مرحله CP، بین  $K_{CP}$  در سرعت‌های مختلف راه رفت، اختلاف معنادار آماری دیده نشد. مقادیر  $R_2$  مدل‌های خطی برآششده به نمودار گشتاور زاویه  $\leq 2/75$  بود (جدول ۱). توان مفصل مچ در این مرحله، منفی بود (شکل ۴). آزمون آنالیز سنجش مکرر و بونفرونی در مرحله CD بین شبیه‌سفتی مفصل مچ در سرعت‌های مختلف تفاوت را نشان داد؛ به گونه‌ای که شبیه‌سفتی در سرعت تند و نرمال، از شبیه‌سفتی در سرعت دیگر بزرگ‌تر بود ( $P < 0.001$ ). در توان مفصل مچ در این مرحله نیز منفی بود (شکل ۴). در مرحله PP در همه مدل‌های برآششده به نمودار گشتاور زاویه  $R_2 \geq 0.9$  بود. بین ضرایب شبیه‌سفتی در سرعت‌های مختلف تفاوت معناداری دیده نشد (جدول ۱). توان در این مرحله، مثبت بود (شکل ۴).

## بحث

هدف مطالعه حاضر بررسی نمودار گشتاور زاویه مچ پا و تعیین مشخصات مفصل مچ پا در سرعت‌ها و مراحل مختلف راه رفت، برای کاربرد در طراحی پروتزهای مچ و پنجه بود. در این راستا، از روش black box برای بررسی عملکرد مفصل مچ استفاده شد که در آن، زاویه مفصل مچ به عنوان ورودی و گشتاور به عنوان خروجی در نظر گرفته شد. در این مدل، هدف، تعیین نقش تک‌تک اجزای احاطه‌کننده مفصل نبود؛ بلکه محتوای مدل بیانگر برآیند کلی انقباض عضلات و لیگامان‌ها و سایر ساختارهای ایجاد‌کننده گشتاور، حول مفصل مچ پا بود. به منظور بررسی دقیق‌تر عملکرد مفصل، فاز ایستایی به سه مرحله تقسیم‌بندی و عملکرد مچ با استفاده از اجزای مکانیکی ساده شامل فنر و دمپر و مولد گشتاور در مراحل و سرعت‌های متفاوت راه رفت، مدل شد. براساس اهداف و یافته‌های مطالعه، در ابتدای بحث به تفسیر نتایج مربوط به عملکرد مفصل مچ پا در سرعت‌ها و سپس، مراحل متفاوت راه رفت و مقایسه نتایج با سایر مقالات پرداخته شده است.

با درنظر گرفتن سرعت راه رفت و هم راستا با مطالعات پیشین (۱۰، ۲)، نتایج نشان داد با افزایش سرعت، مفصل مچ از سیستمی با اجزای غیرفعال به سیستمی فعال تبدیل می‌شد. در سرعت



شکل ۵. دیاگرام مدل پیشنهادی مفصل مج در مراحل راه‌رفتن.

در مرحله CD، ساق حول مفصل مج و روی کف پای ساکن در سرعت آهسته‌تر، مفصل مج مانند سیستم مکانیکی غیرفعال شامل فنر و دمپر موازی عمل کرده و بخشی از انرژی ذخیره شده در فنر CD را در این مرحله، آزاد و بخشی را اتلاف می‌کند. در سرعت آهسته، مفصل مج مانند فنری ایدئال بدون اتلاف عمل کرده و همه انرژی ذخیره شده را آزاد می‌کند. با افزایش سرعت، مفصل مج از سیستم غیرفعال به سیستم فعال و تولیدکننده انرژی، بیش از آنچه جذب شده تبدیل می‌شود. این پدیده را می‌توان به وسیله منبع مولد انرژی، مانند موتور الکتریکی یا نیوماتیکی در این مرحله جایگزین کرد. بنابراین، مدل کلی حاکم بر رفتار مج را می‌توان به صورت زیر بیان کرد (معادله ۶):

$$M = K\theta + B_{(v)}\dot{\theta} + A_{(v)} \quad \text{معادله ۶}$$

در این رابطه، M گشتاور، K شبیه‌سافتی،  $\dot{\theta}$  زاویه، B ضریب اتلاف، سرعت زاویه‌ای، A گشتاور فعلی تولیدی در مفصل مج در مرحله V و سرعت راه‌رفتن است (شکل ۵).

گفتنی است مطالعه حاضر در محدوده سنی افراد جوان سالم انجام شده و طیفی از سرعت راه‌رفتن صورت گرفته است. این پژوهش تعیین پذیری نتایج را برای ساخت پروتز مج در گروه‌های سنی بیشتر یا با مشکلاتی مانند بیماری عروقی و همچنین سایر سرعت‌های راه‌رفتن محدود می‌کند. با توجه به مطالعه حاضر پیشنهاد می‌کنیم مطالعه‌ای با بررسی الکترومايوگرافی عضلات ساق و همچنین در محدوده وسیع تری از سن و سرعت راه‌رفتن انجام شود.

### نتیجه‌گیری

در این مطالعه، از دو رویکرد برای بررسی نمودار گشتاور زاویه و تعیین مشخصات مفصل مج در سرعت‌ها و مراحل مختلف

جهت زاویه دورسی فلکشن دوران می‌کند؛ در حالی که انقباض اکسنتریک عضلات پلنتارفلکسوری حرکت رو به جلوی ساق را کنترل می‌کند. این عضلات به طور فزاینده‌ای، گشتاور ایجاد شده را افزایش می‌کنند؛ به گونه‌ای که در انتهای این دوره، حداکثر گشتاور مفصل مج ایجاد می‌شود (۱۴-۱۶). هم‌استا با این توضیحات و براساس نتایج مطالعه حاضر، گشتاور مرحله CD به طور نسبی با افزایش زاویه دورسی فلکشن زیاد می‌شود و مدل رگرسیون خطی حاکم بر گشتاور زاویه نیز مقادیر بسیار R<sub>۲</sub> را نشان داد. در این مرحله، نمودار توان مفصل مج نیز جذب فراوان انرژی را نشان داد. بنابراین، برای مدل کردن مفصل مج در این بازه، عناصر غیرفعال مانند فنر با قابلیت ذخیره کننده بسیار، مناسب به نظر می‌رسد. در این مرحله، در سرعت‌های بالاتر، شبیه‌سافتی مفصل مج بیشتر بود. برای اساس، مفصل مج را در مرحله CD می‌توان به صورت یک فنر با سفتی تنظیم شده براساس سرعت راه‌رفتن به صورت زیر مدل کرد (معادله ۵):

$$M = K_{(v)}\theta \quad \text{معادله ۵}$$

در این رابطه، M گشتاور، K شبیه‌سافتی، θ زاویه مج در مرحله CD و V سرعت راه‌رفتن است (شکل ۵).

در مرحله PP که در انتهای فاز ایستایی رخ می‌دهد، در اثر انقباض کانسنتریک عضلات پلنتارفلکسوری، پاشنه از زمین جدا شده و عضو به جلو سوق داده می‌شود و انرژی لازم برای حرکت رو به جلوی بدن تولید می‌شود (۱۴-۱۶). براساس نتایج مطالعه حاضر، مفصل مج تحت گشتاوری کاهنده، به پلنتارفلکشن رفته و توان مثبت در مفصل مج مشاهده شد. این نتایج با توضیحات ذکر شده و همچنین نتایج مطالعات دیگر همخوانی دارد. نمودار گشتاور زاویه R<sub>۲</sub> بسیاری داشت. کار تولید شده نیز در مفصل مج با افزایش سرعت از منفی (اتلاف) به مثبت (تولید) تغییر پیدا



مَفصِل مَچ مشابه يك مدل دو جزئي با اتلاف تنظيم شده براساس سرعت راه رفتن عمل مى كند؛ به گونه اي که فقط در سرعت هاي کم راه رفتن اتلاف تنظيم شده وجود دارد. در سرعت زياد جزء مولد گشتاور اضافه مى شود.

### تشکر و قدردانی

تمام مراحل جمع آوري داده های اين تحقیق، در آزمایشگاه بیومکانیک گروه ارگونومی دانشگاه علوم بهزیستی و توانبخشی انجام شده است. همچنین، از زحمات مهندس هدا نبوی و سارا سلطانی در جمع آوري داده ها قدردانی مى کنیم.

راه رفتن استفاده شد. در ابتدا، با رویکردی انتگرالی، نمودار گشتاور زاویه مَفصِل مَچ در سرعت های مختلف راه رفتن بررسی شد. همچنین، نشان داده شد در سرعت های کمتر، مدل فنردمپر تنظيم شده توان شبیه سازی مَفصِل مَچ را دارد. در سرعت های بیشتر، سهم عناصر فعال را نیز باید در نظر گرفت. در رویکرد دوم، مشخصات مَفصِل مَچ با گسسته سازی فاز ایستایی به سه مرحله بررسی شد و مدل حاکم در هر مرحله، تعیین شد. در مرحله CP، می توان مَفصِل مَچ را به صورت فنر، برای جذب ضربه برخورد و کنترل ضربه پا به زمین مدل کرد. در مرحله CD، مَفصِل مَچ به صورت فنری با سفتی زياد را می توان مدل کرد که تابع سرعت راه رفتن است؛ در حالی که در مرحله PP،

### منابع

- 1-Sinitski EH, Hansen AH, Wilken JM. Biomechanics of the ankle–foot system during stair ambulation: Implications for design of advanced ankle–foot prostheses. *Journal of biomechanics*. 2012;45(3):588–94.
- 2-Hansen AH, Childress DS, Miff SC, Gard SA, Mesplay KP. The human ankle during walking: implications for design of biomimetic ankle prostheses. *Journal of biomechanics*. 2004;37(10):1467–74.
- 3-Davis RB, DeLuca PA. Gait characterization via dynamic joint stiffness. *Gait & Posture*. 1996;4(3):224–31.
- 4-Frigo C, Crenna P, Jensen LM. Moment-angle relationship at lower limb joints during human walking at different velocities. *Journal of Electromyography and Kinesiology*. 1996;6(3):177–90.
- 5-Crenna P, Frigo C. Dynamics of the ankle joint analyzed through moment-angle loops during human walking: Gender and age effects. *Human movement science*. 2011;30(6):1185–98.
- 6-Butler RJ, Crowell III HP, Davis IM. Lower extremity stiffness: implications for performance and injury. *Clinical Biomechanics*. 2003;18(6):511–7.
- 7-Gabriel RC, Abrantes J, Granata K, Bulas-Cruz J, Melo-Pinto P, Filipe V. Dynamic joint stiffness of the ankle during walking: Gender-related differences. *Physical Therapy in Sport*. 2008;9(1):16–24.
- 8-Latash ML, Zatsiorsky VM. Joint stiffness: Myth or reality? *Human movement science*. 1993;12(6):653–92.
- 9-Sekiguchi Y, Muraki T, Kuramatsu Y, Furusawa Y, Izumi S-I. The contribution of quasi-joint stiffness of the ankle joint to gait in patients with hemiparesis. *Clinical Biomechanics*. 2012;27(5):495–9.
- 10-Takahashi KZ, Stanhope SJ. Mechanical energy profiles of the combined ankle–foot system in normal gait: Insights for prosthetic designs. *Gait & posture* [Internet]. 2013 [cited 2013 Dec 31]; Available from: <http://www.sciencedirect.com/science/article/pii/S0966636213001914>
- 11-Versluys R, Beyl P, Van Damme M, Desomer A, Van Ham R, Lefever D. Prosthetic feet: State-of-the-art review and the importance of mimicking human ankle–foot biomechanics. *Disability & Rehabilitation: Assistive Technology*. 2009;4(2):65–75.
- 12-Davis RB, Ounpuu S, Tyburski D, Gage JR. A gait analysis data collection and reduction technique. *Human Movement Science*. 1991;10(5):575–87.
- 13-Winter DA. Biomechanics and motor control of human movement. 3rd ed. Toronto: Wiley; 2005.
- 14-Perry J, Burnfield JM. Gait analysis: normal and pathological function [Internet]. 2nd ed. Thorofare: Slack; 2010 [cited 2013 Dec 31]. Available from: <http://www.oandp.org/reading/gaitfunction.asp>
- 15-Au S, Berniker M, Herr H. Powered ankle-foot prosthesis to assist level-ground and stair-descent gaits. *Neural Networks*. 2008;21(4):654–66.
- 16-Levangie PK, Norkin CC. Joint structure and function: a comprehensive analysis. 4th ed. Philadelphia; 2005.

# **Analysis of the Ankle Moment-Angle Curve in Different Gait Speeds and Phases for Designing Ankle-Foot Prostheses**

\**Safaa'epour Z. (Ph.D.)<sup>1</sup>, Esteki A. (Ph.D.)<sup>2</sup>, Tabataba'e Ghomsheh F. (Ph.D.)<sup>3</sup>, Mousavi M.I. (M.D.)<sup>4</sup>*

Receive date: 13/04/2013

Accept date: 12/08/2013

1-*Ph.D. in Biomedical Engineering-Biomechanics, Department of Biomedical Engineering, Science & Research Branch, Islamic Azad University (IAU), Tehran, Iran*

2-*Ph.D. in Biomedical Engineering-Biomechanics, Professor of Biomedical Engineering and Physics Department, Shahid Beheshti University of Medical Sciences, Tehran, Iran*

3-*Ph.D. in Biomechanics, Associate Professor of Department of Ergonomics, University of Social Welfare and Rehabilitation Sciences, Tehran, Iran*

4-*Orthopedist, Associate Professor of Prosthetics and Orthotics Department, University of Social Welfare and Rehabilitation Sciences, Tehran, Iran*

**\*Correspondent Author Address:**  
*Orthotics & Prosthetics Department, University of Social Welfare and Rehabilitation Sciences, Blvd Student, Koodakyan Street, Evin, Tehran, Iran.*

\***Tel:** +98 (21) 22180010

\***E-mail:** safae\_zahra@yahoo.com

## **Abstract**

**Objective:** Aim of this study was to analysis the ankle moment-angle relation and its characteristics at different gait speeds and phases for using in prosthetic ankle-foot design.

**Materials & Methods:** This was a cross-sectional analytic study in which 20 participants were chosen with assessable sampling method. Gait analysis at different speeds was performed with two force-plates and five high speed cameras. Ankle characteristics including quasi-stiffness and work were estimated at three periods of stance phase based on moment-angle loop. Mean differences were analyzed with repeated measure ANOVA and regression analysis was performed to fit the linear model to the data.

**Results:** Moment-angle curve was clockwise at slower speeds and turned counter-clockwise while speed increased. The best fitted line to the work-walking speed curve had  $R^2= 0.81$ . There were significant differences in quasi-stiffness between fast and normal speed and slower speeds ( $p<0.001$ ).

**Conclusion:** Moment-angle curve displayed ankle passive function in slower speeds and active function in faster speeds. Results showed ankle characteristics varied at different gait phases and speeds. Thus, at slower speeds a spring-damper model with regulable damping would simulate the ankle function. However, at higher speeds the active elements also should be considered.

**Keywords:** Walking , Ankle moment , Ankle angle , Ankle-foot prosthesis , Quasi-stiffness